

## مکان یابی QTL‌های اصلی و اپیستاتیک و اثر متقابل آنها با محیط برای صفات کیفیت پخت و خوراک برنج در یک جمعیت لاین‌های نوترکیب خویش آمیخته

علی‌اکبر عبادی<sup>۱\*</sup>، عزت‌الله فرشادفر<sup>۲</sup> و بابک ربیعی<sup>۳</sup>

۱- دانشجوی دکتری گروه زراعت و اصلاح نباتات دانشکده کشاورزی دانشگاه رازی کرمانشاه و عضو هیئت علمی موسسه تحقیقات برنج کشور-رشت، ۲- استاد گروه زراعت و اصلاح نباتات دانشکده کشاورزی دانشگاه رازی کرمانشاه، ۳- دانشیار گروه زراعت و اصلاح نباتات دانشکده علوم کشاورزی دانشگاه گیلان

(تاریخ دریافت: ۱۳۹۱/۹/۱۹ - تاریخ پذیرش: ۱۳۹۲/۲/۲)

### چکیده

کیفیت پخت مطلوب با توجه به ذائقه مصرف کنندگان در کشورهای مختلف متفاوت است، ولی میزان آمیلوز، درجه حرارت ژلاتینی شدن و خصوصیات نشاسته (حاصل از منحنی دستگاه رپید ویسکو آنالایزر)، شاخص‌های اولیه و اصلی تعیین کننده کیفیت پخت و خوراک دانه برنج در همه دنیا هستند. هدف اصلی این پژوهش، شناسایی پارامترهای ژنتیکی شامل QTL‌های اصلی، QTL‌های اپیستاتیک و اثر متقابل آنها با محیط در کنترل ژنتیکی این صفات بود. داده‌های آزمایش طی سه سال (۱۳۸۹-۱۳۹۱) از جمعیت لاین‌های خویش آمیخته نوترکیب حاصل از تلاقی دو رقم برنج ایرانی هاشمی × نعمت جمع‌آوری شد. نقشه پیوستگی جمعیت با استفاده از ۱۷۱ نشانگر ریزماهواره تهیه شد و سپس تجزیه QTL با استفاده از نرم افزار 1.2 QTL-NETWORK که پارامترهای ژنتیکی شامل QTL‌های اصلی، QTL‌های اپیستاتیک و اثر متقابل آنها با محیط را برآورد می‌کند، انجام شد. در مجموع هیجده QTL اصلی برای ۱۰ صفت مورد بررسی شناسایی شد که اغلب آنها روی کروموزوم ۶ قرار داشتند. اثر متقابل QTL×محیط در ده QTL اصلی معنی‌دار شد، به طوری که تنوع فنوتیبی توجیه شده به وسیله این اثر متقابل برای هر صفت از ۰/۰۹ تا ۰/۱۴ درصد متغیر بود. هفده QTL با اثر اپیستازی شناسایی شد که ۳۴ جایگاه ژنی در آنها دخیل بوده و دو QTL اپیستاتیک دارای اثر متقابل با محیط بودند. شش خوشه QTL که همگی روی کروموزوم ۶ بودند و سه خوشه همبسته با جایگاه ژن واکسی و یکی از آنها همبسته با جایگاه ژن آلکالین بود، شناسایی شدند. نتایج این پژوهش نشان داد که برخی از صفات مربوط به کیفیت پخت و خوراک برنج توسط دو ناحیه ژن واکسی و آلکالین روی کروموزوم ۶ کنترل می‌شوند. بنابراین، از نشانگرهای همبسته با این دو ژن پس از ریز مکان یابی و تایید آنها توسط برنامه‌های Validation، می‌توان در برنامه‌های اصلاحی انتخاب به کمک نشانگر جهت بهبود کیفیت پخت و خوراک ارقام استفاده کرد.

**واژه‌های کلیدی:** چسبندگی نشاسته برنج، میزان آمیلوز، نشانگر ریزماهواره، QTL اپیستاتیک، QTL اصلی

\* نویسنده مسئول: ebady\_al@yahoo.com

۹۰ درصد دانه برنج سفید از نشاسته تشکیل شده است که شامل آمیلوز و آمیلوپکتین است (Jiang *et al.*, 2004). با توجه به سهولت اندازه‌گیری و نیاز به مقدار کمی آرد، استفاده از این خصوصیات جهت تعیین کیفیت پخت و خوراک برنج به سرعت گسترش یافته است (Bao and Xia, 1999). به عقیده بعضی از محققین، تعدادی از خصوصیات چسبندگی نشاسته دانه برنج توسط زن واکسی و برخی دیگر توسط زن آلکالین کنترل می‌شود (Wang *et al.*, 2007; Traore *et al.*, 2011; Teng *et al.*, 2012). هر چند که نتایج برخی دیگر از محققین نشان داد که این خصوصیات توسط زن‌های کوچک اثر و بزرگ اثر دیگر بر روی سایر کروموزوم‌های برنج کنترل می‌شوند (Liu *et al.*, 2011; Li *et al.*, 2011).

برای شناخت بهتر صفات موثر در کیفیت پخت و خوراک برنج و تعیین زن یا زن‌های کنترل کننده این صفات در ژرم پلاسم برنج ایرانی و در شرایط آب و هوایی ایران، در این پژوهش جمعیت لاین‌های نوترکیب خویش آمیخته حاصل از تلاقی دو رقم برنج ایرانی به مدت سه سال مورد بررسی قرار گرفتند، تا ضمن تعیین QTL‌های اصلی و اپیستاتیک کنترل کننده صفات کیفیت پخت و خوراک برنج، اثر متقابل این QTL‌ها با محیط نیز تعیین شود همچنین نشانگر و یا نشانگرهای همبسته با زن‌های این صفات نیز جهت استفاده در برنامه‌های اصلاحی انتخاب به کمک نشانگر شناسایی و معرفی شوند.

## مواد و روش‌ها

در این تحقیق از ۱۴۴ لاین خویش آمیخته نوترکیب (نسل‌های F9 و F10) حاصل از تلاقی دو رقم هاشمی و نعمت استفاده شد. این لاین‌ها با استفاده از روش بالک تک بذر و در موسسه تحقیقات برنج کشور تهیه شدند. رقم هاشمی یک رقم محلی است که در سطح وسیعی از مزارع استان گیلان کشت می‌شود. کیفیت پخت و خوراک آن مطلوب (میزان آمیلوز و درجه حرارت ژلاتینی شدن متوسط) و مورد پسند ذائقه مصرف کنندگان ایرانی است. نعمت یک رقم اصلاحی ایرانی حاصل تلاقی (IR24 / حسن سرایی // سنگ طارم) است، نعمت از ارقام پرمحصول با میانگین عملکرد حدود ۸ تن در هکتار و با کیفیت پخت نامطلوب (میزان آمیلوز و درجه حرارت ژلاتینی شدن بالا) است.

## مقدمه

برنج به خاطر کیفیت بالای عناصر غذایی موجود در آن، به عنوان بهترین غذای اصلی در بین سایر غلات محسوب می‌شود. مواد معدنی شامل کلسیم، منیزیم و فسفر و همچنین مقادیر کمی از آهن، روی، مس و منگنز در دانه‌های برنج وجود دارد (Yousaf, 1992). برنج یک غذای نشاسته‌ای است که مقدار زیادی از انرژی رژیم غذایی را تأمین می‌کند. خصوصیات نشاسته تعیین می‌شود. بنابراین نشاسته مهم‌ترین فاکتور در تعیین کیفیت پخت و خوراک دانه برنج است. نشاسته دانه برنج عموماً سریع‌تر از سایر نشاسته‌هایی مثل نودل هضم می‌شود (Yousaf, 1992). درجه حرارت ژلاتینی شدن، میزان آمیلوز، قوام ژل و صفات مربوط به چسبندگی نشاسته دانه برنج از خصوصیات اصلی نشاسته برنج هستند که بر روی کیفیت پخت و خوراک دانه برنج موثر می‌باشند (Bao and Xia, 1999).

به عقیده بسیاری از محققین میزان آمیلوز به عنوان یکی از مهم‌ترین فاکتورهای تعیین کننده کیفیت پخت و خوراک برنج، عمدتاً تحت کنترل زن واکسی (Wx locus) (Tan *et al.*, 1999; Bao *et al.*, 2000; Aluko *et al.*, 2004 آنژیم سنتز دانه‌های نشاسته است (Wang *et al.*, 1995). هر چند که این زن به تنها یکی تمامی مربوط به میزان آمیلوز را توجیه نمی‌کند، لذا بسیاری از محققین تعدادی زن‌های کوچک اثر بر روی سایر کروموزوم‌های Liu *et al.*, (2011; Sabouri, 2009 برنج برای این صفت را گزارش کرده‌اند (Sabouri *et al.*, 2002; He *et al.*, 2006; Umemoto *et al.*, 2002)، درجه حرارت ژلاتینی شدن به عنوان فاکتوری موثر در کیفیت پخت و خوراک برنج، توسط زن آلکالین (Alk locus) روی کروموزوم ۶ کنترل می‌شود (Sabouri *et al.*, 2012)، البته به عقیده برخی دیگر از محققین زن‌های بزرگ اثر و کوچک اثر دیگر روی سایر کروموزوم‌ها در کنترل این صفت موثر هستند (Sabouri *et al.*, 2009; Li *et al.*, 2011; Liu *et al.*, 2011).

خصوصیات چسبندگی نشاسته برنج که توسط دستگاه رپید ویسکو آنالایزر (Rapid Visco Analyzer) اندازه‌گیری می‌شود نیز به عنوان یکی از فاکتورهای تعیین کننده کیفیت پخت برنج محسوب می‌شود. چرا که حدود

موجب حداکثر چسبندگی می‌شود، به عنوان دمای چسبندگی ثبت شد.

استخراج DNA از نمونه‌های برگی با روش مورای و تامپسون (Murray and Thompson, 1980) انجام گرفت. واکنش زنجیره‌ای پلی‌مراز با استفاده از دستگاه T-Gradient Biometra مدل ۱۰ میکرولیتر برای هر واکنش شامل  $2\mu\text{l}$  از DNA (با غلظت تقریبی  $5\text{ ng}/\mu\text{l}$ )،  $1\text{ }\mu\text{l}/0.5\text{ }\mu\text{l}$  از هر یک از آغازگرهای پیشرفتی و معکوس (با غلظت محلول مادری  $5\mu\text{M}$ )،  $1/2\mu\text{l}$  مخلوط بازهای آلی dNTPs (با غلظت  $1\text{ mM}$ )،  $1/14\mu\text{l}$  آنزیم تک پلی‌مراز (با غلظت  $1\text{ U}/\mu\text{l}$ )،  $1/48\mu\text{l}$  کلرید منیزیم (با غلظت  $50\text{ mM}$ ) و  $1\mu\text{l}$  بافر X و بر اساس چرخه حرارتی توضیح داده شده توسط صبوری و همکاران PCR بر (Sabouri et al., 2012) انجام گردید. محصول PCR بر روی ژل پلی‌اکریل‌آمید  $1.0\%$  بارگذاری شد سپس با اتیدیوم بروماید رنگ‌آمیزی و با دستگاه ژل‌دک عکس‌برداری شد.

از تعداد ۵۰۰ نشانگر ریزماهواره (که توالی پرایمرهای آن‌ها بر اساس توالی ارائه شده توسط تمیخ و همکاران Temnykh et al., 2000) و مک‌کوچ و همکاران McCouch et al., 2002) تعیین شده بود) و یک W2R نشانگر (Simple Tagged Site) STS که توالی آن از (Ayres et al., 1997) به عنوان یک نشانگر پیوسته با ژن واکسی گرفته شده بود) تست شده بر روی والدین، حدود ۱۷۸ نشانگر (۱۷۶ نشانگر ریزماهواره به همراه یک نشانگر STS) چند شکلی قابل امتیازدهی نشان دادند. این نشانگرهای چند شکل روی کروموزوم‌های مختلف قرار داشتند و تعداد آن‌ها روی کروموزوم‌های مختلف از ۴ تا ۲۶ عدد متفاوت بود. بعد از تعیین ژنتیک پایان نوترکیب (باند مشابه والد نعمت A و باند مشابه والد هاشمی B در نظر گرفته شد)، از آزمون کای اسکویر برای نسبت تفرق ۱ به ۱ استفاده شد شش نشانگر ریزماهواره از این نسبت تبعیت نکردند، بنابراین در تهیه نقشه پیوستگی و تجزیه QTL از ۱۷۱ نشانگر استفاده شد. از ماتریس داده‌های ژنتیکی جهت تهیه نقشه پیوستگی نشانگرها با استفاده از نرم افزار Mapmaker/EXP 3.0 (Lincoln et al., 1992) استفاده شد. نقشه پیوستگی با LOD معادل ۳، حداکثر فاصله پیوستگی  $40\text{ cM}$  وتابع کوزامبی ترسیم شد. جهت

(Allahgholipour et al., 2006) لاین‌های خویش آمیخته نوترکیب به همراه دو والد هاشمی و نعمت و دو رقم خزر و علی‌کاظمی به عنوان شاهد در قالب طرح آگمنت در سه سال زراعی ۱۳۸۸، ۱۳۸۹ و ۱۳۹۰ در مزرعه آزمایشی موسسه تحقیقات برنج کشور (رشت) کشت شدند. چهار رقم شاهد در قالب طرح بلوک‌های تصادفی با سه تکرار مورد مطالعه قرار گرفتند. بذرها پس از ضدغوفونی با محلول قارچ کش ویتاواکس تیرام (با غلظت  $2/5$  در هزار)، در بستر خزانه به صورت خطی قرار داده شدند. ۳۰ روز پس از بذرپاشی نشاها به زمین اصلی منتقل شدند. مساحت هر واحد آزمایشی  $4\text{ متر مربع}$ ، با فاصله  $25\text{ سانتی‌متر}$  بین و درون ردیفها بود. شلتوك برداشت شده با رطوبت  $14\text{ \%}$  برای اندازه‌گیری صفات مربوطه به آزمایشگاه منتقل شد.

میزان آمیلوز به روش جولیانو (Juliano, 1971) و درجه حرارت ژلاتینی شدن به روش لیتل و همکاران Little et al., 1985) (اندازه‌گیری شد. جهت اندازه‌گیری خصوصیات مرتبط با چسبندگی  $3\text{ گرم آرد}$  برنج سفید که در حد  $100$  مش آرد شده بود با استفاده از دستگاه رپید RVA-3D Model Newport (Scientific, Sydney Australia) اندازه‌گیری خصوصیات چسبندگی نمونه‌ها با برنامه دمایی Allahgholipour دستگاه در مدت  $12$  دقیقه انجام شد (et al., 2006). خصوصیات چسبندگی نشاسته نمونه‌های مورد نظر به وسیله هشت فاکتور مهم منتج از منحنی چسبندگی ارزیابی می‌شود. حداکثر چسبندگی در اوج اولیه منحنی ثبت می‌شود. با ثابت ماندن دما میزان چسبندگی به حداقل مقدار خود می‌رسد و حداقل چسبندگی ثبت می‌شود. با سرد شدن نمونه و کاهش درجه حرارت تا  $50$  درجه سانتی‌گراد دوباره منحنی به سمت بالا رفت و چسبندگی نهایی ثبت می‌شود. فرو ریختگی چسبندگی از تفاوت حداکثر و حداقل چسبندگی به دست آمد. پسروی چسبندگی با محاسبه تفاوت چسبندگی نهایی از حداکثر چسبندگی به دست آمد. قوام چسبندگی از تفاوت چسبندگی نهایی و حداقل چسبندگی حاصل شد. تمامی این فاکتورها بر اساس واحد چسبندگی (Rapid Viscosity Unit) ثبت شدند. مدت زمانی که طول می‌کشد تا منحنی اولین اوج (حداکثر چسبندگی) را ثبت کند به عنوان زمان تا حداکثر چسبندگی و دمایی که

در اغلب صفات بجز صفت مدت زمان حداکثر چسبندگی معنی‌دار بود و نشان داد که ژنتیپ‌ها در طی سه سال فنوتیپ متفاوتی داشتند که می‌تواند تأییدی بر کمی بودن صفات مورد بررسی و تأثیر آن‌ها از شرایط محیطی مورد مطالعه باشد. مقایسه میانگین برای اثر متقابل رقم $\times$ سال نیز انجام و مشخص شد که مقادیر صفات در ارقام شاهد در سال‌های متفاوت متغیر بوده است که این نیز به دلیل کمی بودن این صفات و اثر محیط روی آنها بود.

میانگین والدین به همراه اشتباہ استاندارد، میانگین لاین‌های خویش آمیخته نوترکیب به همراه اشتباہ استاندارد و دامنه تغییرات صفات مورد بررسی در هر سه سال به طور جداگانه در جدول ۱ ارایه شده است. همان‌طور که مشاهده می‌شود، در اغلب صفات مورد بررسی و در هر سه سال دو والد با یکدیگر اختلاف معنی‌داری داشتند. میانگین صفات میزان آمیلوز، درجه حرارت ژلاتینی شدن، حداکثر چسبندگی، حداقل چسبندگی، چسبندگی نهایی، پسروی چسبندگی و مدت زمان تا حداکثر چسبندگی در نعمت بالاتر از هاشمی و بر عکس، میانگین صفات فروریختگی چسبندگی، قوام چسبندگی و درجه حرارت چسبندگی در رقم هاشمی بالاتر از نعمت بود. این نتایج با گزارش المقلی‌پور و همکاران (Allahgholipour *et al.*, 2010) که روند تغییرات خصوصیات چسبندگی نشاسته به همراه میزان آمیلوز و درجه حرارت ژلاتینی شدن را در ارقام محلی و اصلاح شده مورد بررسی قرار دادند، مطابقت داشت. در نتایج گزارش شده توسط این محققین نیز میانگین سه صفت فروریختگی چسبندگی، قوام چسبندگی و درجه حرارت چسبندگی در رقم هاشمی و اغلب ارقام محلی دیگر بالاتر از ارقام اصلاحی بود. میانگین لاین‌های خویش آمیخته نوترکیب در تمامی صفات مورد بررسی در هر سه سال در حدود میانگین والدین بود (جدول ۱). با نگاهی به محدوده صفات در جمعیت لاین‌های خویش آمیخته نوترکیب در هر سه سال آزمایش مشاهده می‌شود که در همه صفات برخی از لاین‌ها نسبت به والدین ارزش بیشتر یا کمتری داشتند که بیانگر وجود تفکیک متتجاوز برای همه صفات بود. وجود تفکیک متتجاوز برای این صفات در جمعیت‌های اصلاحی مختلفی در تحقیقات قبلی نیز گزارش شده است (Wang *et al.*, 2007; Zhang *et al.*, 2008; Liu *et al.*, 2012; Hosseini Chaleshtari *et al.*, 2012).

تجزیه‌های آماری از قبیل تجزیه واریانس و غیره از نرم افزار SAS ver.9.0 استفاده شد. برای تجزیه QTL از نرم Yang *et al.*, (QTL-NETWORK ver. 2.1 2008) استفاده شد، که در این نرم افزار QTL‌های اصلی و اپیستاتیک و اثرات متقابل آن‌ها با محیط با استفاده از مدل ترکیبی بر اساس مکان‌یابی فاصله‌ای مرکب Mixed-Model based Composite Interval Mapping (Mapping شناسایی شدند).

## نتایج و بحث

### نتایج ارزیابی‌های فنوتیپی

با توجه به اجرای آزمایش در هر سه سال در قالب طرح آگمنت، تجزیه واریانس در هر سال به طور جداگانه برای ارقام شاهد (۴ رقم هاشمی، نعمت، علی کاظمی و خزر) انجام شد. نتایج نشان داد که اختلاف بین ارقام شاهد برای تمامی صفات مورد مطالعه در هر سه سال (به غیر از صفت مدت زمان حداکثر چسبندگی در سال دوم)، معنی‌دار بود. اختلاف بین تکرارها در هیچ سالی معنی‌دار نشد و بنابراین نیازی به تصحیح داده‌های مربوط به لاین‌های خویش آمیخته نوترکیب که در تکرارهای مختلف قرار داشتند، نبود. مقایسه میانگین صفات در ارقام شاهد نشان داد که میانگین دو رقم هاشمی و نعمت (دو والد استفاده شده در این تحقیق) در اغلب صفات و در هر سه سال در گروه‌های جداگانه قرار گرفتند. بجز صفات مدت زمان حداکثر چسبندگی در سال‌های اول و دوم و قوام چسبندگی در سال‌های دوم و سوم که در آن‌ها دو رقم هاشمی و نعمت از نظر آماری در یک گروه قرار گرفتند (داده‌ها نشان داده نشدم). وجود اختلاف معنی‌دار بین دو رقم هاشمی و نعمت در اغلب صفات نشان از انتخاب صحیح این دو رقم به عنوان والدین جهت ایجاد جمعیت لاین‌های خویش آمیخته نوترکیب به منظور مکان‌یابی ژن‌های کمی کنترل کننده این صفات است. در تجزیه واریانس مرکب ارقام شاهد برای سه سال نیز اثر رقم در همه صفات مورد بررسی معنی‌دار بود. همچنین اثر سال نیز در همه صفات بجز صفت پسروی چسبندگی و مدت زمان حداکثر چسبندگی معنی‌دار بود که این نشان‌دهنده تأثیر سال روی صفات مورد بررسی است به طوری که در سال‌های مختلف میزان و یا ارزش صفات مورد بررسی تغییر کرده است. اثر متقابل ژنتیپ $\times$ سال نیز

جدول ۱- میانگین، اشتباہ استاندارد و دامنه تغییرات صفات در والدین و لاین‌های خویش آمیخته نوترکیب حاصل از تلاقی هاشمی × نعمت  
Table 1. Means, standard error and range of traits in parents and RILs derived from Hashemi/Nemat cross

صفت <sup>*</sup> Trait <sup>*</sup>	سال Year	والدین (اشتباه استاندارد ± میانگین) Parents (Means±SE)		جمعیت لاین‌های خویش آمیخته نوترکیب RILs	
		نعمت Nemat	هاشمی Hashemi	اشتباه استاندارد ± میانگین (حداکثر-حداقل) دامنه Rang (Max-Min)	اشتباه استاندارد ± میانگین Mean±SE
میزان آمیلوز (درصد) AC (%)	2009	27.67 ± 0.20	18.40 ± 0.12	12.4 (28.4-16)	22.98 ± 0.29
	2010	27.37 ± 0.35	20.33 ± 0.36	11.7 (28.7-17)	23.98 ± 0.18
	2011	27.5 ± 0.26	19.52 ± 0.33	10 (27.5-17.5)	23.82 ± 0.15
درجه حرارت ژلاتینی شدن GT	2009	7 ± 0	4.47 ± 0.07	3.4 (7-3.6)	5.61 ± 0.09
	2010	7 ± 0	4.43 ± 0.10	3.8 (7-3.2)	5.72 ± 0.08
	2011	7 ± 0	4.30 ± 0.12	3.4 (7-3.6)	5.86 ± 0.08
حداکثر چسبندگی PKV	2009	344.8 ± 6.4	269.5 ± 2.7	151.5 (367.7-225.2)	306.4 ± 2.68
	2010	332.1 ± 4.4	275.4 ± 2.8	230 (361.3-13.3)	277.8 ± 3.92
	2011	339.5 ± 3.2	277.9 ± 2.1	184.9 (368.9-184)	275.4 ± 2.81
حداکل چسبندگی HPV	2009	310.2 ± 4.7	190.8 ± 5.3	133.9 (327.5-193.7)	257.4 ± 2.52
	2010	301.2 ± 3.6	193.1 ± 3.9	218.2 (328.8-110.6)	237.7 ± 3.86
	2011	316.4 ± 3.2	180.5 ± 2.9	184.5 (337.9-153.4)	234.8 ± 2.97
چسبندگی نهایی CPV	2009	431.1 ± 5.8	321.8 ± 2.9	230.8 (485.8-255)	360.7 ± 4.02
	2010	428.9 ± 6.0	325.8 ± 2.9	311.4 (491.2-180.1)	362.8 ± 5.30
	2011	443.1 ± 5.1	317.1 ± 4.4	250.9 (472.8-221.1)	363.1 ± 4.01
فروریختگی چسبندگی BDV	2009	34.7 ± 3.5	78.7 ± 4.8	110 (125-15)	49.1 ± 1.96
	2010	30.2 ± 2.5	82.3 ± 1.6	94.3 (103.3-9)	40.1 ± 1.83
	2011	23.2 ± 2.3	97.3 ± 3.4	90.8 (101.3-10.5)	40.7 ± 1.44
پسروی چسبندگی SBV	2009	86.2 ± 3	52.3 ± 2.6	182.8 (164.7-(-18))	54.1 ± 3.07
	2010	102.8 ± 4	50.3 ± 2.0	231.3 (214-(-17.1))	84.9 ± 3.81
	2011	103.5 ± 3.9	39.11 ± 2.48	210 (200.7 -(-9.9))	87.6 ± 2.92
قوام چسبندگی CSV	2009	120.9 ± 3.7	131.1 ± 3.9	153.3 (196.6-43)	103.3 ± 2.93
	2010	126.9 ± 2.4	132.7 ± 2.5	250.8 (271.8-21)	124.8 ± 3.90
	2011	126.6 ± 3.3	136.4 ± 3.4	202.8 (256.6-53.8)	128.3 ± 2.96
مدت زمان تا حداکثر چسبندگی P KT (Minute)	2009	6.32 ± 0.11	6.0 ± 0.07	1.13 (7-5.87)	6.64 ± 0.03
	2010	6.26 ± 0.09	6.02 ± 0.07	1.37 (7-5.63)	6.53 ± 0.03
	2011	6.30 ± 0.09	5.98 ± 0.05	1.27 (7-5.73)	6.47 ± 0.02
درجه حرارت چسبندگی PT (°C)	2009	75.1 ± 1.03	85.2 ± 0.12	16.5 (90.1-73.6)	81.7 ± 0.29
	2010	76.4 ± 0.99	83.1 ± 1.6	24.3 (93.2-69)	82.63 ± 0.40
	2011	76.2 ± 0.99	82.6 ± 0.55	17.8 (90.1-72.4)	82.1 ± 0.32

\* AC، میزان آمیلوز، GT، درجه حرارت ژلاتینی شدن، PKV، حداکثر چسبندگی، HPV، فروریختگی چسبندگی، BDV، پسروی چسبندگی، SBV، قوام چسبندگی، CSV، مدت زمان تا حداکثر چسبندگی، PT، درجه حرارت چسبندگی، RVU، واحد سرعت چسبندگی.

<sup>\*</sup> AC, Amylose content; GT, Gelatinization tempreature; PKV, Peak viscosity; HPV, Hot past viscosity; BDV, Break down viscosity; SBV, Set back viscosity; CSV, Consistency viscosity; P KT, Peak viscosity time; PT, Pasting temperature; RVU, Rapid viscosity unit.

میزان ۰/۹۷ درصد، در سال دوم و سوم آللهای والد نعمت باعث افزایش میزان آمیلوز به ترتیب به میزان ۰/۵۵ و ۰/۴۳ درصد شدند. تنوع فنتوتیپی پوشش داده شده به وسیله اثر متقابل افزایشی $\times$ محیط برای *qAC6a* ۸/۱۴ درصد بود. اثرات متقابل افزایشی $\times$ محیط در هیچ‌کدام از سه سال مورد بررسی برای *qAC6b* معنی‌دار نشد (جدول ۲). در بسیاری از تحقیقات انجام شده در خصوص صفت میزان آمیلوز اعلام شده که این صفت توسط ناحیه ژن واکسی کنترل می‌شود (Tan *et al.*, 1999; Aluko *et al.*, 2004; Ando *et al.*, 2010 *al.*, 2004; Ando *et al.*, 2010 توسط صوری و همکاران (Sabouri *et al.*, 2012) بر روی یک جمعیت F2:3 حاصل از تلاقی رقم سپیدرود در غریب انجام شده بود یک QTL دقیقاً بین دو نشانگر RM589-RM190 معرفی شده بود. هر چند که برخی دیگر از محققین نظیر Liu *et al.* (2009) و لی بو و همکاران (Sabouri, 2009) صفت میزان آمیلوز شناسایی نکردند. تعداد ۴ مکان ژنی برای صفت میزان آمیلوز دارای اثرات اپیستازی بودند که هیچ‌کدام از آن‌ها دارای اثرات اصلی نبودند همچنین اثر متقابل اپیستازی $\times$ محیط در هیچ‌کدام از سال‌های مورد بررسی معنی‌دار نبود (جدول ۳). سان و همکاران (Sun *et al.*, 2006 *al.*, 2006) اثرات اپیستازی بین لوکوس‌هایی روی کروموزوم‌های مختلف (۱، ۲، ۳، ۴، ۵، ۶، ۹، ۱۱ و ۱۲) برای میزان آمیلوز گزارش کردند. ژنگ و همکاران (Zhang *et al.*, 2008) نیز اثرات اپیستازی برای میزان آمیلوز را گزارش کردند. لویو و همکاران (Lou *et al.*, 2009) چندین QTL دارای اثرات اپیستازی روی کروموزوم‌های مختلف (۲، ۳ و ۴) را برای صفت میزان آمیلوز گزارش کردند.

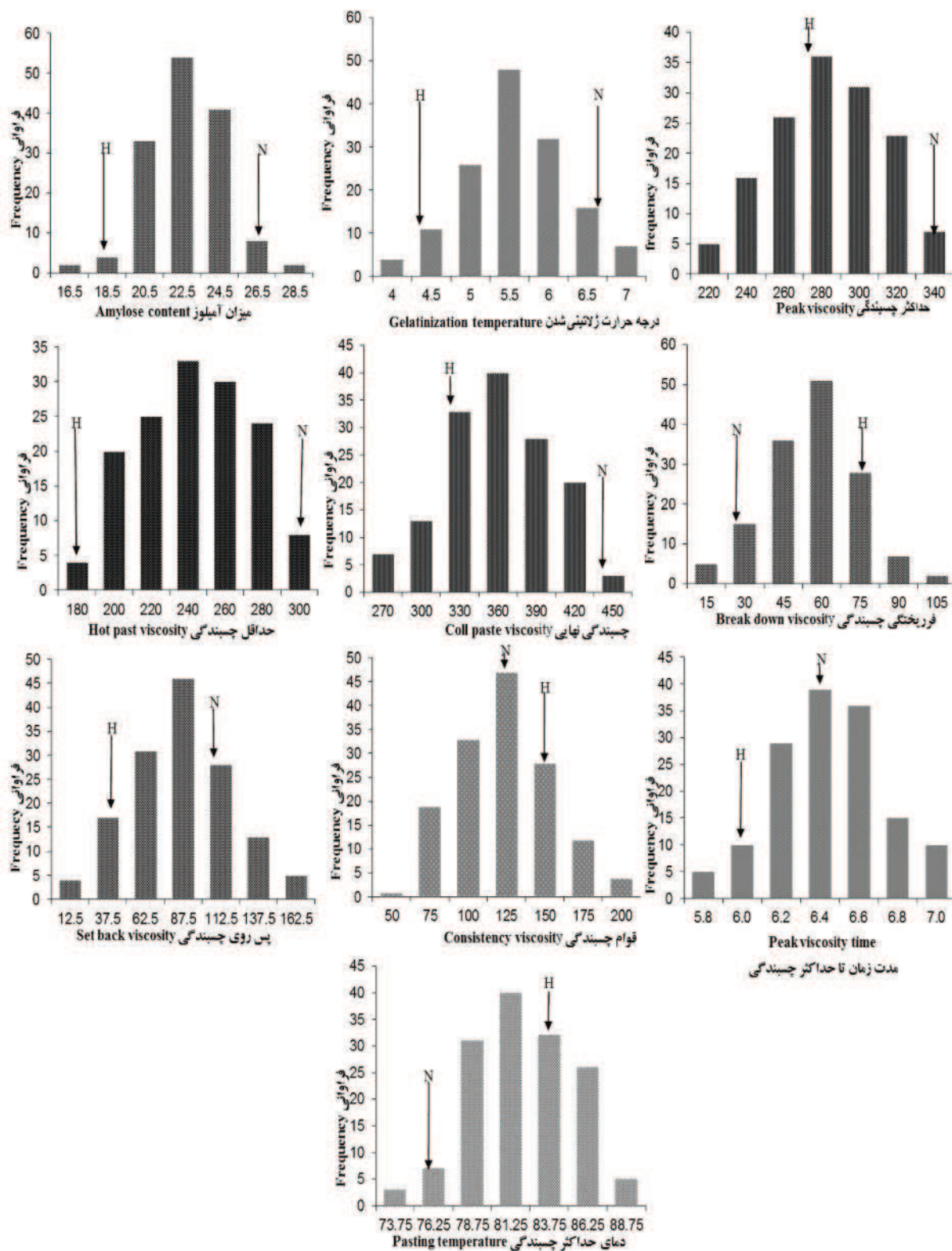
برای صفت درجه حرارت ژلاتینی شدن یک QTL اصلی بزرگ اثر روی کروموزوم ۶ به نام *qGT6a* در بین دو نشانگر RM4128-RM402 (پیوسته با جایگاه ژن آلکالین) شناسایی شد. اثر افزایشی اصلی در این جایگاه منفی بود و آللهای والد هاشمی میزان آمیلوز به ترتیب شدن را به میزان ۰/۷۶ افزایش دادند. تنوع فنتوتیپی پوشش داده شده توسط این QTL اصلی به میزان ۵۳/۲۷ درصد بود. اثر متقابل افزایشی $\times$ محیط برای این QTL در هیچ یک از سال‌های مورد بررسی معنی‌دار نشد.

توزیع فراوانی لاین‌های جمعیت RILs مورد مطالعه برای هر کدام از صفات مورد بررسی قرار گرفت و مشاهده شد که این توزیع برای همه صفات به صورت پیوسته و نرمال بود. نمودار توزیع فراوانی لاین‌ها بر اساس میانگین سه ساله صفات مورد بررسی در شکل ۱ نشان داده شده است. پیوسته بودن و تابعیت این توزیع از توزیع نرمال نشان دهنده کمی بودن صفات مورد بررسی و دخالت چندین ژن در کنترل این صفات بود. البته گزارش‌های بسیاری از محققین بر کمی بودن این صفات دلالت دارد (Bao and Xia 1999; Liu *et al.*, 2011; Sabouri *et al.*, 2012).

#### نتایج ارزیابی ژنتوتیپی و مکانیابی QTL

با استفاده از ماتریس ژنتوتیپی حاصل از تست ۱۷۱ نشانگر بر روی لاین‌های نوترکیب، نقشه پیوستگی این نشانگرها ترسیم شد. این نقشه پیوستگی حدود ۱۵۹ سانتی‌مورگان از زنوم برنج را با میانگین ۹/۳ سانتی‌مورگان بین هر جفت نشانگر پوشش داد. بیشترین تعداد نشانگر روی کروموزم‌های ۱ و ۶ (به ترتیب ۲۶ و ۲۲) و کمترین تعداد نشانگر روی کروموزم‌های ۴ و ۱۲ (به ترتیب ۶ و ۴) بود. مکان نشانگرها بر روی نقشه پیوستگی تطابق نسبتاً مناسبی با نقشه ارائه شده توسط تمیخ و همکاران (Temnykh *et al.*, 2000) و مک‌کوچ و همکاران (McCouch *et al.*, 2002) داشت. البته لازم به ذکر است که نشانگرهای استفاده شده در این تحقیق بر اساس همین دو نقشه انتخاب شده بودند.

با تجزیه QTL صفات کیفیت پخت در مجموع هیجده QTL اصلی و سی و چهار QTL اپیستاتیک برای ۱۰ صفت مورد بررسی روی کروموزم‌های مختلف شناسایی شد (جدول ۲ و ۳). برای صفت میزان آمیلوز دو QTL اصلی روی کروموزوم ۶ بدنامهای *qAC6a* و RM589-*qAC6b* به ترتیب در حد فاصل نشانگرهای RM314-RM253 (در جایگاه ژن واکسی) و *qAC6b* شناسایی شد. اثر افزایشی اصلی در *qAC6a* و *qAC6b* منفی بود و آللهای والد هاشمی میزان آمیلوز را به ترتیب به مقدار ۱/۱۸ و ۰/۶۶ درصد افزایش دادند و تنوع فنتوتیپی پوشش داده شده به ترتیب به میزان ۲۶/۴۴ و ۱۵/۰۱ درصد بود. اثرات متقابل افزایشی $\times$ محیط برای *qAC6a* در هر سه سال معنی‌دار شد به طوری که در سال اول آللهای والد هاشمی باعث افزایش آمیلوز به



شکل ۱- توزیع فراوانی لاین‌های خویش آمیخته نوترکیب برای صفات کیفیت پخت و خوارک برنج، حروف H و N به ترتیب نشان‌دهنده والد هاشمی و نعمت هستند.

Figure 1. Frequency distributions of cooking and eating quality traits of RILs. H and N are Hashemi and Nemat, respectively.

جدول ۲- برآوردهای افزایشی و افزایشی مبتنی در QTL-NETWORK اصلی شناسایی شده صفات موردنظر بررسی با نرم‌افزار QTL-NETWORK در جمعیت RILs به مدت سه سال

صفت	Trait	QTL نام QTL name	شناختگرهاي مجاور Markers interval	موقعیت (CM) QTL position	اثر افرايس Additive effect (AA)	R <sup>2</sup> <sub>a</sub>	AE <sub>1</sub>	AE <sub>2</sub>	AE <sub>3</sub>	R <sup>2</sup> <sub>aa</sub>	والد Parent
میزان آمبوز	Mirzan Amboz										
Amylose content (AC)	<i>qAC6a</i> <i>qAC6b</i>	RM589-RM190 RM314-RM253	13.2 76.7	-1.18 -0.66	26.44 15.01	-0.97 -	0.55 -	0.43 -	8.14 3.35	H H	
درجه حرارت زلازی شدن											
Gelatinization temperature (GT)	<i>qGT6</i>	RM4128-RM402	99.8	-0.76	53.27	-	-	-	0.12	H	
حداکثر چندگی Peak viscosity (PKV)	<i>qPKV6a</i> <i>qPKV6b</i>	RM586-RM589 RM1340-RM3183	7.8 141	-15.22 9.47	14.7 3.91	11.83 -	-9.94 -	-	5.92 0.24	H نمی	
حداکثر چندگی Hot past viscosity (HPV)	<i>qHPV6</i>	RM586-RM589	6.8	-16.53	23.54	6.31	-6.75	-	2.92	H	
Coll paste viscosity (CPV)	<i>qCPV6a</i> <i>qCPV6b</i>	RM190-W2R RM402-RM6836	17.8 102	-14.31	4.32	11.24	-7.06	-	2.4	هاشمی	
فرورختگی جندگی Breakdown viscosity (BDV)	<i>qBDV6a</i> <i>qBDV6b</i>	RM314-RM253 RM253-RM276	76.7 84.4	4.05 3.48	10.59 10.22	3.34 -	-	-	0.77 0.09	نمی نمی	

Table 2 continued

دادمه جدول ۲								
نحوت	نحوت	نحوت	نحوت	نحوت	نحوت	نحوت	نحوت	نحوت
N	N	N	N	N	N	N	N	N
سُرسوی پسبندگی	سُرسوی پسبندگی	سُرسوی پسبندگی	سُرسوی پسبندگی	سُرسوی پسبندگی	سُرسوی پسبندگی	سُرسوی پسبندگی	سُرسوی پسبندگی	سُرسوی پسبندگی
Seback viscosity (SBV)	<i>qSBV<sub>6c</sub></i>	RM4128-RM402	99.8	9.24	7.16	-	-	1.23
قویم پسبندگی	قویم پسبندگی	<i>qCSV<sub>6c</sub></i>	RM589-RM190	14.2	6.41	4.42	-	1.17
Consistency viscosity (CSV)	<i>qCSV<sub>6b</sub></i>	RM4128-RM402	98.8	14.31	13.63	-	-	1.02
زمان تا حداکثر	<i>qPKT<sub>5</sub></i>	RM267-RM289	85.7	0.069	2.48	-	-	0.26
Time to peak viscosity (PKT)	<i>qPKT<sub>6a</sub></i>	RM190-W2R	14.8	-0.097	11.29	-	-	0.82
درجه حرارت	<i>qPTI</i>	RM276-RM2615	91.2	-0.14	20.13	-	-	0.29
پسبندگی	<i>qPT<sub>6</sub></i>	RM1287-RM129	320	-0.89	5.38	-	-	0.98
Pasting temperature (PT)		RM276-RM2615	91	-0.80	3.50	0.95	0.65	-
								H
								هاشمی

و جمعیت مکان ریزی بر حسب فاصله ساتری مورگان از ایندیلی هر کروموزومن  $R^2_{\text{a}}$  بهم با نسبت توزع تیوجنیه شده توسط اثربخشی با میزان  $R^2_{\text{a}}$  بین اثربخشی با سالهای  $AE_3$ ,  $AE_2$ ,  $AE_1$ ,  $AE_0$  و سرمه  $R^2_{\text{aa}}$  نسبت QTL position: position of QTL based on centiMorgan from the beginning of each chromosome.  $R^2_{\text{a}}$ : The percentages of the phenotypic variations explained by additive effect.  $AE_1$ ,  $AE_2$  and  $AE_3$ : Additive effect<sub>year 1, 2 and 3</sub> respectively.  $R^2_{\text{aa}}$ : The percentages of the phenotypic variations explained by additive<sub>environment interaction</sub> effect. Parent: parent increasing the main-effect QTL.

آللهای والد نعمت این صفت را به مقدار ۹/۴۷ واحد RVU افزایش دادند. این جایگاه ژنی ۳/۹۱ درصد از تنوع فنتوپیپی صفت را پوشش داد. اثر متقابل افزایشی×محیط در هیچ سالی معنی دار نشد (جدول ۲). نتایج این تحقیق در خصوص صفت حداکثر چسبندگی با نتایج تحقیقات بائو و همکاران (Bao *et al.*, 2002) و لیو و همکاران (Liu *et al.*, 2011) که یک QTL روی کروموزوم ۶ برای این صفت معرفی کردند، مطابقت داشت، ولی با نتایج برخی دیگر از محققین که QTL صفت حداکثر چسبندگی را روی کروموزوم ۶ شناسایی نکردند، مغایرت داشت (Bao *et al.*, 2003; Wang *et al.*, 2007; Zhang *et al.*, 2008) برای صفت حداکثر چسبندگی روی کروموزوم‌های ۶ (سه تا) و ۸ شناسایی شد که دو تا از این QTL‌ها دارای اثر افزایشی اصلی نیز بودند و اثر متقابل اپیستاتیک×محیط در هیچ سالی معنی دار نشد (جدول ۳). ژنگ و همکاران (Zhang *et al.*, 2010) نیز QTL‌هایی با آثار اپیستاتیزی برای صفت حداکثر چسبندگی گزارش کردند.

برای صفت حداقل چسبندگی فقط یک QTL اصلی QTL با اثر افزایشی روی کروموزوم ۶ شناسایی شد. این به نام *qHPV6* در حدفاصل دو نشانگر- RM586- RM589 (نzdیک به جایگاه ژن واکسی) قرار داشت و دارای اثر افزایشی منفی بود، به طوری که آللهای والد هاشمی باعث افزایش این صفت به مقدار ۱۶/۵۳ واحد RVU شدند. این جایگاه ژنی ۲۳/۵۴ درصد از واریانس فنتوپیپی صفت را پوشش داد. اثر متقابل افزایشی×محیط در سال اول مثبت ۶/۳۱ و در سال دوم این اثر منفی (۶/۷۵) و معنی دار بود. این اثر متقابل ۲/۹۲ درصد از واریانس فنتوپیپی را پوشش داد (جدول ۲). بنابر این جایگاه ژن واکسی در کنترل این صفت دخیل است. در تعدادی از تحقیقات قبلی در مورد این صفت نیز به کنترل Bao *et al.*, 2003; Wang *et al.*, 2007; Zhang *et al.*, 2008 آن توسط ژن واکسی اذعان شده است ().

برای صفت حداقل چسبندگی فقط دو QTL دارای اثر اپیستاتیزی روی کروموزوم‌های ۲ و ۵ شناسایی شد که هیچ یک از این QTL‌ها دارای اثر افزایشی اصلی نبودند و اثر متقابل اپیستاتیک×محیط در هیچ سالی معنی دار نشد (جدول ۳). ژنگ و همکاران (Zhang *et al.*, 2007, 2010) نیز QTL‌هایی با آثار اپیستاتیزی برای صفت حداقل

(جدول ۲). در اغلب گزارشات قبلی در خصوص کنترل ژنتیکی این صفت نیز به نقش جایگاه ژن آلکالین به عنوان ناحیه کروموزومی اصلی در کنترل درجه حرارت ژلاتینی شدن اشاره شده است و اغلب آنها حداقل یک QTL بزرگ اثر برای این صفت در این ناحیه کروموزومی گزارش کرده‌اند (Umemoto *et al.*, 2002; Wang *et al.*, 2007; Sabouri *et al.*, 2012) که نتایج پژوهش حاضر نیز با آنها مطابقت داشت. البته در برخی از تحقیقات قبلی هیچ QTL برای صفت درجه حرارت ژلاتینی شدن روی کروموزوم ۶ گزارش نشده است (Sabouri, 2009). فقط دو مکان ژنی دارای اثر اپیستاتیزی برای درجه حرارت ژلاتینی شدن بودند که هیچ‌کدام از این دو مکان ژنی اثر اصلی افزایشی نداشتند و اثر متقابل اپیستاتیک×محیط در هیچ سالی معنی دار نشد (جدول ۳). سان و همکاران (Sun *et al.*, 2006) چندین QTL روی کروموزوم‌های مختلف که دارای اثرات اپیستاتیزی برای این صفت بودند را شناسایی و گزارش کردند. ژنگ و همکاران (Zhang *et al.*, 2008) نیز چند QTL با اثر اپیستاتیزی جهت کنترل صفت درجه حرارت ژلاتینی شدن گزارش کردند.

برای صفت حداکثر چسبندگی دو QTL اصلی روی کروموزوم ۶ شناسایی شد که در مجموع ۱۸/۶۱ درصد از تنوع فنتوپیپی صفت را پوشش دادند. یکی از این QTL‌ها به نام *qPKV6a* در بین دو نشانگر RM586-RM589 (nzdیک به جایگاه ژن واکسی) قرار داشت اثر افزایشی آن منفی بود و آللهای والد هاشمی میزان این صفت را به مقدار ۱۵/۲۲ واحد RVU افزایش دادند. این جایگاه ژنی ۱۴/۷ درصد از تنوع فنتوپیپی صفت را پوشش داد. اثر متقابل افزایشی×محیط در سال اول مثبت ۱۱/۸۳) و در سال دوم منفی (۹/۹۴) و معنی دار بود. اثر متقابل افزایشی×محیط در سال اول مثبت ۵/۹۲ درصد از تنوع فنتوپیپی صفت را پوشش داد. QTL اصلی دیگر شناسایی شده روی کروموزوم ۶ به نام *qPKV6b* بین دو نشانگر RM1340- RM3183 قرار داشت، اثر افزایشی آن مثبت بود و

جدول ۳- پرآرد- چندین QTL های ایستادیک از اثرباره ای (AAE) و ایستادی-افراشی (AA) و ایستادی-افراشی-خوارک برآج با زمزهای RILs در QTLNETWORK به مدت سه سال

Table 3. Estimation of epistatic QTLs, additive×additive effect(AA) and epistatic×environment or additive×environment effect(AAE) for evaluated traits with QTL-NETWORK in RILs population for three years

Trait	QTL <sub>i</sub>	QTL <sub>j</sub>	QTL <sub>i</sub>	QTL <sub>j</sub>	QTL	QTL <sub>i</sub>	QTL <sub>j</sub>	QTL	QTL <sub>i</sub>	AA	R <sup>2</sup> <sub>aa</sub>	AAE <sub>1</sub>	AAE <sub>2</sub>	AAE <sub>3</sub>	R <sup>2</sup> <sub>aa</sub>
میزان آمیخت	نشانگر راهی مجاور Markers interval	H	-0.76	5.61	-	-	-								
میزان آمیخت (AC)	qAC2	RM213-RM1358	84.5	qAC7a	RM6223-RM5055	8				H	-0.76	5.61	-	-	-
درجه حرارت	qAC5	RM164-RM440	28.5	qAC7b	RMS006-RM214	49.4				H	-0.57	5.69	-	-	-
درجه حرارت ژلایسی شدن (GT)	qGT1	RM5423- RM3148	275	qGT6b	RM68336-RM5371	122	N	N	0.24	3.18	-	-	-	-	-
حمالگر	qPKV6a	RM586-RM589	7.8	qPKV6b	RM1340-RM3183	141	N	N	5.27	1.61	-	-	-	-	-
حمالگر میکرو	qPKV6c	RM190-W2R	14.8	qPKV8	RM223-RM42	13.2	N	N	8.47	5.07	-	-	-	-	-
حمال	qHPV6	RM424-RM279	204	qHPV5	RM598-RM2585	139	H	H	-11.3	3.55	-	-	-	-	-
(HPV)															
نپاچ	qCPV3	RM5626-RM60	122	qCPV8	RM223-RM42	13.2	H	H	-10.42	2.63	-	-	-	-	-
(CPV)															
نپاچ	qBDV5	RM598-RM2585	145	qBDV10	RMS201-RM5620	115	N	N	4.89	3.79	-	-	-	-	-
(BDV)															

Table 3 continued

لایه چندول ۳

<i>qSBV5a</i>	RM289-RM305	93	<i>qSBV8b</i>	RM6208-RM3572	53	N	نمود	6.38	5.36	-5.1	4.4	-	1.8
میسری <sup>۱</sup> چندولی <sup>۲</sup>	<i>qSBV5b</i>	RM31-RM598	127	<i>qSBV6b</i>	RM527-RM141	170	N	نمود	12.94	8.4	-	-	-
(SBV)	<i>qSBV8a</i>	RM7356-RM223	9.1	<i>qSBV11b</i>	RM206-RM1342	40	H	نمود	-8.69	5.53	-	-	-
قوام	<i>qSBV11a</i>	RM1341-RM202	62	<i>qSBV11c</i>	RM1812-RM286	109	N	نمود	8.55	4.57	-	-	-
چندولی <sup>۲</sup> (CSV)	<i>qCSV11b</i>	RM206-RM1341	40	<i>qCSV11c</i>	RM5599-RM1812	92	H	نمود	-8.66	2.99	-	-	-
زمان‌باز	<i>qCSV11d</i>	RM1341-RM202	63	<i>qCSV11d</i>	RM1812-RM286	114	N	نمود	13.73	3.57	-	-	-
حداکثر چندولی <sup>۲</sup>	<i>qPKT1</i>	RM3520-RM104	133	<i>qPKT10</i>	RM258-RM311	78	H	نمود	-0.09	3.8	-	-	-
(PKT)													
چرخ <sup>۳</sup>	<i>qPT1</i>	RM1287-RM129	320	<i>qPT6</i>	RM276-RM2615	91	N	نمود	0.59	2.16	-	-	-
حرارت	<i>qPT8</i>	RM3331-RM1235	124	<i>qPT12</i>	RM7003-RM7619	39	N	نمود	1.04	5.77	-0.6	0.5	1.46
چندولی <sup>۲</sup> (PT)													

QTLL<sub>i</sub>: مکان زی<sub>i</sub> در جایگاه i مورفیت مکان زی<sub>i</sub> بر حسب فاصله سنتی مورگان از ابتدای هر کروموسوم و مقدار آلهایی و مذین در مکان زی<sub>i</sub> در جایگاه QTLL<sub>j</sub>: مکان زی<sub>j</sub> در جایگاه j مورفیت مکان زی<sub>j</sub> بر حسب فاصله سنتی مورگان از ابتدای هر کروموسوم و مقدار آلهایی و مذین در مکان زی<sub>j</sub> در جایگاه QTLL<sub>i</sub> ایستازی (افزایشی در افزایشی)  $R^2_{aa}$ : تبع پرشن داده شده توسط اثرات ایستازی AAE<sub>1</sub> و AAE<sub>2</sub> AAE<sub>3</sub>: تبع پرتبی از مغایر ایستازی، AAE<sub>1</sub>, AAE<sub>2</sub> و AAE<sub>3</sub>: Additive×additive effect in year 1, 2 and 3 respectively, R<sup>2</sup><sub>aa</sub>: The percentages of the phenotypic variations explained by additive×additive×environment interaction effect.

<sup>۱</sup><sup>۲</sup> تعابی ایستازی با محدودیت<sup>۳</sup> QTLL<sub>i</sub>: QTL in i loci, QTL position: position of QTL based on centiMorgan from the beginning of each chromosome, QTLL<sub>j</sub>: QTL in j loci, AA<sub>i</sub>: additive×additive effect, R<sup>2</sup><sub>aa</sub>: The percentages of the phenotypic variations explained by additive×additive effect, AAE<sub>1</sub>, AAE<sub>2</sub> and AAE<sub>3</sub>: Additive×additive effect in year 1, 2 and 3 respectively, R<sup>2</sup><sub>aa</sub>: The percentages of the phenotypic variations explained by additive×additive×environment interaction effect.

افزایشی مثبت بود و آلل‌های والد نعمت میزان این صفت را  $40.5\%$  واحد RVU افزایش دادند. این جایگاه  $\text{ژن}$   $10/59$  درصد از واریانس فتوتیپی صفت را پوشش داد. اثر متقابل افزایشی $\times$ محیط در سال اول مثبت و معنی‌دار ( $3/34$ ) شد. این اثر متقابل  $77.0\%$  درصد از واریانس فتوتیپی صفت را پوشش داد. دیگر QTL اصلی شناسایی شده روی کروموزوم  $6$  بهنام  $qBDV6b$  بین دو نشانگر RM253-RM276 قرار داشت. اثر افزایشی این QTL نیز مثبت بود و آلل‌های والد نعمت صفت فروریختگی چسبندگی را به اندازه  $3/48$  واحد RVU افزایش دادند. این QTL مقدار  $10.22\%$  درصد از واریانس فتوتیپی صفت را پوشش داد. اثر متقابل افزایشی $\times$ محیط در هیج سالی QTL معنی‌دار نشد (جدول ۲). برخی از محققین نیز یک QTL بزرگ اثر برای این صفت در مکان  $\text{ژن}$  واکسی روی کروموزوم  $6$  گزارش کردند (Wang et al., 1999; Bao et al., 2007) اما برخی دیگر از محققین هیج روی QTL کروموزوم  $6$  برای این صفت شناسایی نکردند (Bao et al., 2002; Liu et al., 2011). فقط دو QTL دارای اثر اپیستازی روی کروموزوم‌های  $5$  و  $10$  برای صفت فروریختگی شناسایی شدند. هیج کدام از این QTL‌ها دارای اثر افزایشی اصلی نبودند و اثر متقابل اپیستازی $\times$ محیط در هیج سالی معنی‌دار نشد (جدول ۳). برخی از اثرات اپیستازی برای صفت فروریختگی QTL چسبندگی در تحقیقات قبلی روی کروموزوم‌های مختلف Zhang et al., 2007; Zhang et al., 2008 (et al., 2008) برنج گزارش شده است (Zhang et al., 2007; Zhang et al., 2008).

برای صفت پسروی چسبندگی یک QTL با اثر افزایشی اصلی مثبت روی کروموزوم  $6$  ( $qSBV6a$ ) بین دو نشانگر RM4128-RM402 (پیوسته با جایگاه  $\text{ژن}$  آلالکالین) شناسایی شد. آلل‌های والد نعمت میزان این صفت را  $9.24\%$  واحد RVU افزایش دادند. این جایگاه  $\text{ژن}$   $7/16$  درصد از واریانس فتوتیپی صفت را پوشش داد. اثر متقابل افزایشی $\times$ محیط در هیج سالی معنی‌دار نشد (جدول ۲). باعث و همکاران (Bao et al., 2002, 2003) یک QTL روی کروموزوم  $6$  برای این صفت گزارش کردند.  $\text{ژن}^{\text{گ}}$  و همکاران (Zhang et al., 2008) یک QTL روی کروموزوم  $6$  نزدیک به جایگاه  $\text{ژن}$  آلالکالین برای صفت پسروی چسبندگی گزارش کردند.  $\text{ژن}^{\text{گ}}$  و همکاران (Zhang et al., 2007) نیز یک QTL بزرگ اثر روی

چسبندگی گزارش کردند. دو QTL اصلی با اثر افزایشی روی کروموزوم  $6$  برای صفت چسبندگی نهایی شناسایی شد. یکی از آنها ( $qCPV6a$ ) بین دو نشانگر RM190- W2R (جایگاه  $\text{ژن}$  واکسی) با اثر افزایشی منفی بود و در آن، آلل‌های والد هاشمی، میزان این صفت را  $14.31\%$  واحد RVU افزایش دادند. این جایگاه  $\text{ژن}$   $4/32$  درصد از واریانس فتوتیپی صفت را پوشش داد. اثر متقابل افزایشی $\times$ محیط در سال اول مثبت ( $11/24$ ) و در سال دوم منفی ( $-7/06$ ) و معنی‌دار بود. این اثر متقابل QTL درصد از واریانس فتوتیپی صفت را پوشش داد. دیگر روی کروموزوم  $6$  ( $qCPV6b$ ) در حد فاصل دو نشانگر RM402-RM6836 (پیوسته با جایگاه  $\text{ژن}$  آلالکالین) قرار داشت. اثر افزایشی اصلی در این RVU مثبت بود و آلل‌های والد نعمت  $19.55\%$  واحد RVU این صفت را افزایش دادند. این جایگاه  $\text{ژن}$   $9/81$  درصد از واریانس فتوتیپی صفت را پوشش داد. در این جایگاه اثر متقابل افزایشی $\times$ محیط در سال اول منفی ( $-5/05$ ) و در سال دوم مثبت ( $9/23$ ) و معنی‌دار بود. این اثر متقابل  $1/65$  درصد از واریانس فتوتیپی را پوشش داد (جدول ۲). با توجه به شناسایی دو QTL یکی در جایگاه  $\text{ژن}$  واکسی و دیگری در نزدیکی  $\text{ژن}$  آلالکالین، می‌توان گفت که صفت چسبندگی نهایی متأثر از هر دو  $\text{ژن}$  واکسی و آلالکالین است که البته تاثیر  $\text{ژن}$  واکسی بیشتر از  $\text{ژن}$  آلالکالین است. در برخی از تحقیقات قبلی نیز یک QTL بزرگ اثر در جایگاه  $\text{ژن}$  آلالکالین  $\text{ژن}$  واکسی و یک QTL کوچک اثر در جایگاه  $\text{ژن}$  آلالکالین برای کنترل ژنتیکی این صفت گزارش کردند (Bao et al., 2002; Wang et al., 2007; Zhang et al., 2008). دو QTL دارای اثر اپیستازی برای صفت چسبندگی نهایی روی کروموزوم‌های  $3$  و  $8$  شناسایی شد. هیج کدام از این QTL‌ها دارای اثر افزایشی اصلی نبودند و اثر متقابل اپیستازی $\times$ محیط در هیج سالی معنی‌دار نشد (جدول ۳).  $\text{ژن}^{\text{گ}}$  و همکاران (Zhang et al., 2007) و  $\text{ژن}^{\text{گ}}$  و همکاران (Zhang et al., 2008) اثرات اپیستازی برای صفت چسبندگی نهایی گزارش کردند.

برای صفت فروریختگی چسبندگی که از تفاوت حداقل و حداکثر چسبندگی به دست آمد، دو QTL اصلی با اثر افزایشی روی کروموزوم  $6$  شناسایی شد. یکی ( $qBDV6a$ ) بین دو نشانگر RM314-RM253 با اثر

QTL‌های روی کروموزوم ۶ بهنام *qPKT6a* بین دو نشانگر RM190-W2R (در جایگاه ژن واکسی) با اثر افزایشی منفی قرار داشت به طوری که آل‌های والد هاشمی میزان این صفت را ۰/۰۹۷ دقیقه افزایش دادند. این جایگاه ژنی ۱۱/۲۹ درصد از واریانس فنوتیپی صفت را پوشش داد. اثر متقابل افزایشی×محیط در هیچ سالی معنی‌دار نشد. دیگر QTL شناسایی شده روی کروموزوم RM276-6 بهنام *qPKT6b* در حدفاصل دو نشانگر RM2615 با اثر افزایشی منفی قرار داشت بهنحوی که آل‌های والد هاشمی میزان این صفت را ۰/۱۴ دقیقه افزایش دادند. این جایگاه ژنی ۲۰/۱۳ درصد از واریانس فنوتیپی صفت را پوشش داد. اثر متقابل افزایشی×محیط QTL در این جایگاه نیز در هیچ سالی معنی‌دار نشد. شناسایی شده روی کروموزوم ۵ برای صفت زمان تا حداکثر چسبندگی بهنام *qPKT5* بین دو نشانگر RM267-RM289 با اثر افزایشی مثبت قرار داشت و آل‌های والد نعمت میزان این صفت را ۰/۰۶۹ دقیقه افزایش دادند. این جایگاه ژنی ۲/۴۸ درصد از واریانس فنوتیپی صفت را پوشش داد. اثر متقابل افزایشی×محیط در این جایگاه نیز در هیچ سالی معنی‌دار نشد (جدول ۲). در مطالعات قبلی کمتر به این صفت پرداخته شده است و تحقیقات اندکی در خصوص کنترل ژنتیکی این صفت وجود دارد. وانگ و همکاران (Wang *et al.*, 2007) QTL‌هایی روی کروموزوم‌های ۱، ۵ و ۶ برای این صفت گزارش کردند. ژنگ و همکاران (Zhang *et al.*, 2007) و ژنگ و همکاران (Zhang *et al.*, 2008) QTL را روی کروموزوم‌های ۲ و ۶ برای کنترل ژنتیکی این صفت گزارش کردند. فقط دو QTL دارای اثر اپیستازی روی کروموزوم‌های ۱ و ۱۰ برای صفت زمان تا حداکثر چسبندگی شناسایی شدند. هیچ‌کدام از این دو QTL دارای اثر افزایشی اصلی نبودند و اثر متقابل اپیستازی×محیط در هیچ سالی معنی‌دار نشد (جدول ۳). ژنگ و همکاران (Zhang *et al.*, 2010) QTL‌هایی با اثرات اپیستازی برای زمان تا حداکثر چسبندگی گزارش کردند.

برای صفت درجه حرارت چسبندگی دو QTL اصلی روی کروموزوم‌های ۱ و ۶ شناسایی شد. QTL شناسایی شده روی کروموزوم ۱ بهنام *qPT1* بین دو نشانگر RM1287-RM129

کروموزوم ۶ برای این صفت گزارش کردند. تعداد هشت QTL دارای اثر اپیستازی روی کروموزوم‌های ۵، ۸، ۶ و ۱۱ برای صفت پسروی چسبندگی شناسایی شدند، هیچ‌کدام از این QTL‌ها دارای اثر افزایشی اصلی نبودند (Zhang *et al.*, 2007, ژنگ و همکاران (Zhang *et al.*, 2010) QTL‌هایی با آثار اپیستازی برای صفت پسروی چسبندگی گزارش کردند).

دو QTL اصلی با اثر افزایشی روی کروموزوم ۶ برای صفت قوام چسبندگی شناسایی شد. یکی بهنام *qCSV6a* (در جایگاه ژن واکسی) با اثر افزایشی مثبت قرار داشت به طوری که آل‌های والد نعمت میزان این صفت را ۶/۴۱ واحد RVU افزایش دادند. این جایگاه ژنی ۷/۱۶ درصد از واریانس فنوتیپی صفت را پوشش داد. اثر متقابل افزایشی×محیط QTL در هیچ سالی معنی‌دار نشد (جدول ۲). دیگر QTL شناسایی شده روی کروموزوم ۶ بهنام *qCSV6b* در حدفاصل دو نشانگر RM4128-RM402 (پیوسته با جایگاه ژن آکالین) با اثر افزایشی مثبت قرار داشت و آل‌های والد هاشمی میزان این صفت را ۱۴/۳۱ واحد RVU افزایش دادند. این جایگاه ژنی ۱۳/۶۳ درصد از واریانس فنوتیپی صفت را پوشش داد. اثر متقابل افزایشی×محیط در این جایگاه ژنی نیز در هیچ سالی معنی‌دار نشد (جدول ۲). بائو و همکاران (Bao *et al.*, 2000) روی QTL کروموزوم ۶ برای این صفت گزارش کردند. وانگ و همکاران (Wang *et al.*, 2007) دو QTL را روی کروموزوم ۶ (یکی بزرگ اثر در جایگاه ژن واکسی و دیگری کوچک اثر در جایگاه ژن آکالین) این صفت گزارش کردند. ژنگ و همکاران (Zhang *et al.*, 2007, ژنگ و همکاران (Zhang *et al.*, 2008) QTL‌هایی روی کروموزوم ۶ برای کنترل این صفت گزارش کردند. چهار QTL روی کروموزوم ۱۱ دارای اثر اپیستازی برای صفت قوام چسبندگی بودند، هیچ‌کدام از این QTL‌ها دارای اثر افزایشی اصلی نبودند و اثر متقابل اپیستازی×محیط در هیچ سالی برای دو اثر اپیستازی شناسایی شده معنی‌دار نشد (جدول ۳). ژنگ و همکاران (Zhang *et al.*, 2007) و ژنگ و همکاران (Zhang *et al.*, 2010) QTL‌هایی با اثرات اپیستازی برای صفت قوام چسبندگی گزارش کردند.

سه QTL اصلی روی کروموزوم‌های ۵ و ۶ (دو تا برای زمان تا حداکثر چسبندگی شناسایی شد. یکی از

جدول ۴- خوشه های QTL برای صفات مورد بررسی

Table 4. QTL clusters for evaluated traits

والد افزایش دهنده صفت Parent increased the trait	صفات Traits	نشانگرهای مجاور Marker interval	کروموزم Chromosome
هاشمی (H)، هاشمی (H)	حداکثر چسبندگی (PKV)، حداقل چسبندگی (HPV)	RM586-RM589	6
هاشمی (H)، نعمت (N)	میزان آمیلوز (AC)، قوام چسبندگی (CSV)	RM589-RM190	6
هاشمی (H)، هاشمی (H)	زمان حداکثر چسبندگی (PKT)، چسبندگی نهایی (CPV)	RM190-W2R	6
هاشمی (H)، نعمت (N)	میزان آمیلوز (AC)، فروریختگی چسبندگی (BDV)	RM314-RM253	6
هاشمی (H)، نعمت (N)، نعمت (N)	درجه حرارت ژلاتینی شدن (GT)، پسروی چسبندگی (CSV)، قوام چسبندگی (SBV)	RM4128-RM402	6
هاشمی (H)، هاشمی (H)	زمان حداکثر چسبندگی (PKV)، درجه حرارت چسبندگی (PT)	RM276-RM2615	6

۶ و ۱۲ دارای اثر متقابل اپیستازی در محیط معنی‌دار در سال‌های اول و دوم (به ترتیب ۰/۵ و ۰/۶) بود. (جدول ۳). ژنگ و همکاران (Zhang *et al.*, 2010) QTL هایی با اثرات اپیستازی برای درجه حرارت چسبندگی گزارش کردند.

شش خوشه QTL برای ۱۰ صفت مورد بررسی شناسایی شد که تمامی این خوشه‌های QTL روی کروموزوم ۶ قرار داشتند (جدول ۴). سه تا از این خوشه‌های QTL در مکان ژن واکسی یا در نزدیکی این مکان ژنی قرار داشتند. خوشه اول بین دو نشانگر RM586-RM589 (پیوسته با جایگاه ژن واکسی) قرار داشت این مکان ژنی دو صفت حداکثر و حداقل چسبندگی را کنترل می‌کرد، آلل‌های والد هاشمی در این مکان ژنی میزان هر دو صفت را افزایش دادند. دیگر مکان RM589-RM190 ژنی روی کروموزوم ۶ بین دو نشانگر (جایگاه ژن واکسی) صفات میزان آمیلوز و قوام چسبندگی را کنترل می‌کرد و آلل‌های والد هاشمی میزان آمیلوز و آلل‌های والد نعمت میزان صفت قوام چسبندگی را افزایش دادند. مکان ژنی دیگری روی کروموزوم ۶ بین دو نشانگر RM190-W2R (جایگاه ژن واکسی) صفات مدت زمان تا حداکثر چسبندگی و چسبندگی نهایی را کنترل می‌کرد. در این مکان ژنی نیز آلل‌های والد هاشمی میزان هر دو صفت را افزایش دادند. دیگر مکان ژنی روی کروموزوم ۶ بین دو نشانگر RM314-RM253 دو صفت میزان آمیلوز و فروریختگی چسبندگی را کنترل می‌کند در این مکان ژنی آلل‌های والد هاشمی میزان آمیلوز و آلل‌های والد

آن آلل‌های والد نعمت میزان این صفت را ۰/۸۹ درجه سانتی‌گراد کاهش دادند. این جایگاه ژنی ۵/۳۸ درصد از واریانس فنتیپی صفت را پوشش داد. اثر متقابل افزایشی×محیط در هیچ سالی معنی‌دار نشد. QTL کروموزوم ۶ (qPT6) با اثر افزایشی منفی بین دو نشانگر RM276-RM2615 قرار داشت. آلل‌های والد نعمت میزان این صفت را ۰/۸۰ درجه سانتی‌گراد کاهش دادند. این جایگاه ژنی ۳/۵ درصد از واریانس فنتیپی صفت را پوشش داد. اثر متقابل افزایشی×محیط در سال اول و دوم مثبت و معنی‌دار بود (به ترتیب ۰/۹۵ و ۰/۶۵). همچنین این دو اثر متقابل ۳/۲ درصد از واریانس فنتیپی را پوشش دادند (جدول ۲). در مورد صفت درجه حرارت چسبندگی نیز همانند صفت مدت زمان تا رسیدن به حداکثر چسبندگی تحقیقات اندکی انجام شده است. وانگ و همکاران (Wang *et al.*, 2007) روی QTL هایی کروموزوم‌های ۳، ۶ و ۸ برای این صفت گزارش کردند. ژنگ و همکاران (Zhang *et al.*, 2008) با بررسی این صفت در یک جمعیت F2 هیچ QTLی برای این صفت شناسایی و گزارش نکردند. ژنگ و همکاران (Zhang *et al.*, 2010) دو QTL روی کروموزوم‌های ۵ و ۶ برای این صفت شناسایی و گزارش کردند. تعداد چهار QTL دارای اثر اپیستازی روی کروموزوم‌های ۱، ۶، ۸ و ۱۲ برای صفت درجه حرارت چسبندگی شناسایی شدند. QTL های روی کروموزوم‌های ۱ و ۶ دارای اثر افزایشی اصلی نیز بودند و اثر متقابل اپیستازی در محیط معنی‌دار نبود ولی اثر اپیستازی شناسایی شده بین دو QTL روی کروموزوم‌های

آلکالین برای کنترل صفات کیفیت پخت و خوراک برنج شناسایی و معرفی شده‌اند (Bao *et al.*, 1999; Bao *et al.*, 2003; Wang *et al.*, 2007; Zhang *et al.*, 2008; Li *et al.*, 2012). با توجه به معنی دار نشدن اثر سال در اغلب QTL‌های اصلی بزرگ اثر شناسایی شده برای صفات مختلف مورد بررسی در این پژوهش نشان از پایداری این QTL‌ها داشته و می‌توان با اعتماد بیشتری به بررسی دقیق‌تر و ریزمکانیابی این QTL‌ها پرداخت تا بتوان بعد از تائید نشانگرهای همبسته با این QTL‌ها از آن‌ها در برنامه‌های اصلاحی انتخاب به کمک نشانگر در جهت بهبود کیفیت پخت و خوراک ارقام و لاین‌های جدید استفاده کرد.

نعمت میزان فرو ریختگی چسبندگی را افزایش دادند. مکان ژنی بین دو نشانگر RM4128-RM402 (پیوسته با جایگاه ژن آلکالین) سه صفت درجه حرارت ژلاتینی شدن، پسروی چسبندگی و قوام چسبندگی را کنترل می‌کرد آلل‌های والد هاشمی درجه حرارت ژلاتینی شدن و آلل‌های والد نعمت صفات قوام چسبندگی و پسروی چسبندگی را افزایش دادند. مکان ژنی بین دو نشانگر RM276-RM2615 دو صفت مدت زمان تا حداکثر چسبندگی و درجه حرارت چسبندگی را کنترل می‌کرد. در این مکان ژنی آلل‌های والد هاشمی هر دو صفت مدت زمان تا حداکثر چسبندگی و درجه حرارت چسبندگی را افزایش دادند. در اغلب تحقیقات قبلی خوش‌های QTL روی کروموزوم ۶ خصوصاً در دو جایگاه ژن واکسی و

## References

- Allahgholipour, M., Ali, A. J., Alinia, F., Nagamine, T. and Kojima, Y. 2006. Relationship between rice grain amylose and pasting properties for breeding better quality rice varieties. *Plant Breeding* 125: 357-362.
- Allahgholipour, M., Rabiei, B., Ebadi, A. A., Hosseini, M. and Yekta, M. 2010. Starch viscosity properties: New criteria for assessment of cooking quality of rice (*Oryza sativa* L.) cultivars. *Iranian Journal of Crop Sciences* 12: 140-151 (In Persian).
- Aluko, G., Martinez, C., Tohme, J., Castano, C., Bergman, C. and Oard, J. H. 2004. QTL mapping of grain quality traits from the interspecific cross *Oryza sativa* × *O. glaberrima*. *Theoretical and Applied Genetics* 109: 630–639.
- Ando, I., Sato, H., Aoki, N., Suzuki, Y., Hirabayashi, H., Kuroki, M., Shimizu, H., Ando, T. and Takeuchi, Y. 2010. Genetic analysis of the low-amylose characteristics of rice cultivars Oborozuki and Hokkai-PL9. *Breeding Science* 60: 187–194.
- Ayres, N. M., McLung, A. M., Larkin, P. D., Bligh, H. F. J., Jones, C. A. and Park, W. D. 1997. Microsatellites and single nucleotid polymorphism differentiate apparent amylose classes in an extended pedigree of US rice germplasm. *Theoretical and Applied Genetics* 94: 773- 781.
- Bao, J. S. and Xia, Y. W. 1999. Genetic control of paste viscosity characteristics in indica rice (*Oryza sativa* L.). *Theoretical and Applied Genetics* 1120-1124.
- Bao, J. S., He, P., Xia, Y. W., Chen, Y. and Zhu, L. H. 1999. Starch RVA profile parameters of rice are mainly controlled by *Wx* gene. *Chinese Science Bulletin* 44: 2047-2051.
- Bao, J. S., Zheng, X. W., Xia, Y. W., He, P., Shu, Q. Y., Lu, X., Chen, Y. and Zhu, L. H. 2000. QTL mapping for the paste viscosity characteristics in rice (*Oryza sativa* L.). *Theoretical and Applied Genetics* 100: 280-284.
- Bao, J. S., Sun, M. and Corke, H. 2002. Analysis of genetic behaviour of some starch properties in indica rice (*Oryza sativa* L.) thermal properties gel texture swelling volume. *Theoretical and Applied Genetics* 104: 408–413.
- Bao, J. S., Corke ,H., He, P. and Zhu, L. H. 2003. Analysis of quantitative trait loci for starch properties of rice based on an RIL population. *Acta Botanica Sinica* 45: 986-994.
- Hosseini Chaleshtari, M., Houshmand, S., Mohammadi, Sh., Tarang, A., Khoddambashi, M. and Rahim Soroush, H. 2012. Mapping quantitative trait loci for plant height, heading time, growth duration and grain yield in two advanced back cross populations of rice. *Iranian Journal of Crop Sciences* 14 (3): 235-249. (In Persian).
- He, Y., Han, Y., Jiang, L., Xu, C., Lu, J. and Xu, M. 2006. Functional analysis of starch-synthesis genes in determining rice eating and cooking qualities. *Molecular Breeding* 18: 277–290.

- Jiang, H. W., Dian, W. M., Liu, F. Y. and Wu, P.** 2004. Molecular cloning and expression analysis of three genes encoding starch synthase II in rice. *Planta* 218: 1062–1070.
- Juliano, B.** 1971. A simplified assay for milled rice amylase. *Cereal Science Today* 16: 334-338.
- Kwon, S. W., Cho, Y. C., Lee, J. H., Suh, J. P., Kim, J. J., Kim, M. K., Choi, I. S., Hwang, H. G., Koh, H. J. and Kim Y. G.** 2011. Identification of quantitative trait loci associated with rice eating quality traits using a population of recombinant inbred lines derived from a cross between two temperate japonica cultivars. *Molecular Cells* 31: 437-45.
- Li, J., Zhang, W., Wu, H., Guo, T., Liu, X., Wan, X., Jin, J., Hanh, T. T. T., Thoa, N. T. N., Chen, M., Liu, S., Chen, L., Liu, X., Wang, J., Zhai, H. and Wan, J.** 2011. Fine mapping of stable QTLs related to eating quality in rice (*Oryza sativa* L.) by CSSLs harboring small target chromosomal segments. *Breeding Science* 61: 338–346.
- Lincoln, S., Daly, M. and Lander, E.** 1992. Constructing genetics maps with MAPMAKER/EXP 3.0. Whitehead Institute Technical Report, Whitehead Institute, Cambridge.
- Little, R. R., Hilder, G. B., Dawson, E. H. and Elsie, H.** 1958. Differential effect of dilute alkali on 25 varieties of milled white rice. *Cereal Chemistry* 35: 111-126.
- Liu, X., Wan, X., Ma, X. and Wan, J.** 2011. Dissecting the genetic basis for the effect of rice chalkiness amylose content protein content and rapid viscosity analyzer profile characteristics on the eating quality of cooked rice using the chromosome segment substitution line population across eight environments. *Genome* 54: 64-80.
- Lou, J., Chen, L., Yue, G., Lou, Q., Mei, H., Xiong, L. and Luo, L.** 2009. QTL mapping of grain quality traits in rice. *Journal of Cereal Science* 50: 145-151.
- McCouch, S. R., Teytelman, L., Xu, Y. B., Lobos, K. B., Clare, K., Walton, M., Fu, B., Maghirang, R., Li, Z. K., Xing, Y. Z., Zhang, Q. F., Kono, I., Yano, M., Fjellstrom, R., DeClerck, G., Schneider, D., Cartinhour, S., Ware, D. and Stein, L.** 2002. Development and mapping of 2240 new SSR markers for rice (*Oryza sativa* L.). *DNA Research* 9: 199-207.
- Murray, M. G. and Thompson, W. F.** 1980. Rapid isolation of high molecular weight plant. *DNA Nucleic Acids Research* 8: 4321-4325.
- Sabouri, A., Rabiei, B., Toorchi, M., Aharizad, S. and Moumeni, A.** 2012. Mapping quantitative trait loci (QTL) associated with cooking quality in rice (*Oryza sativa* L.). *Australian Journal of Crop Science* 6: 808-814.
- Sabouri, H.** 2009. QTL detection of rice grain quality traits by microsatellite markers using an indica rice (*Oryza sativa* L.) combination. *Journal of Genetics* 88: 81-85.
- Sun, S. Y., Wei, H. and Lin, H. X.** 2006. Identification of QTLs for cooking and eating quality of rice grain. *Rice Science* 13: 161-169.
- Tan, Y. F., Li, J. X., Yu, S. B., Xing, Y. Z., Xu, C. G. and Zhang, Q. F.** 1999. The three important traits for cooking and eating quality of rice grains are controlled by a single locus in an elite rice hybrid, Shanyou 63. *Theoretical and Applied Genetics* 99: 642–648.
- Temnykh, S., Park, W. D., Ayres, N., Cartinhour, S., Hauck, N., Lipovich, L., Cho, Y. G., Ishii, T. and McCouch, S. R.** 2000. Mapping and genome organization of microsatellite sequences in rice (*Oryza sativa* L.). *Theoretical and Applied Genetics* 100: 697-712.
- Teng, B., Zeng, R., Wang, Y., Liu, Z., Zhang, Z., Zhu, H., Ding, S., Li, W. and Zhang, G.** 2012. Detection of allelic variation at the Wx locus with single-segment substitution lines in rice (*Oryza sativa* L.). *Molecular Breeding* 30: 583-595.
- Traore, K., McClung, A. M., Chen, M. H. and Fjellstrom, R.** 2011. Inheritance of flour paste viscosity is associated with a rice *Waxy* gene exon 10 SNP marker. *Cereal Science* 53: 37-44.
- Umemoto, T., Yano, M., Satoh, H., Shomura, A. and Nakamura, Y.** 2002. Mapping of a gene responsible for the difference in rice varieties. *Theoretical and Applied Genetics* 104: 1–8.
- Wang, Z. Y., Zheng, F. Q., Shen, G. Z., Gao, J. P., Snustad, D. P., Li, M. G., Zhang, J. L. and Hong, M. M.** 1995. The amylase content in rice endosperm is related to the post-transcriptional regulation of the *waxy* gene. *Plant Journal* 7: 613-622.
- Wang, L. Q., Liu, W. J., Xu, Y., He, Y. Q., Luo, L. J., Xing, Y. Z., Xu, C. G. and Zhang, Q.** 2007. Genetic basis of 17 traits and viscosity parameters characterizing the eating and cooking quality of rice grain. *Theoretical and Applied Genetics* 115: 463-76.

- Yang, J., Hu, C., Hu, H., Yu, R., Xia, Z., Ye, X. and Zhu, J.** 2008. QTL/Network: mapping and visualizing genetic architecture of complex traits in experimental populations. **Bioinformatics** 5: 721–723.
- Yousaf, M.** 1992. Study on some physicochemical characteristics affecting the cooking and eating qualities of some Pakistani rice varieties. M.Sc. Dissertation, University of Agriculture, Faisalabad, Pakistan.
- Zhang, Q., Zhang, Y., Zhu, Z., Zhao, L., Zhao, Q., Xu, L. and Wang, C.** 2007. Analysis of inheritance and QTLs of rice starch viscosity (RVA profile) characteristics. **Chinese Journal of Rice Science** 21: 591-598.
- Zhang, Q. F., Zhang, Y. D., Zhu, Z., Zhao, L., Zhao, Q. Y., Xu, L. and Wang, C. L.** 2008. Inheritance analysis and QTL mapping of rice starch viscosity (Rapid Visco Analyzer profile) characteristics. **Rice Science** 15: 186–194.
- Zhang, Y., Jiang, L., Liu, X., Chen, L., Zhai, H. and Wan, J.** 2010. Analysis of QTLs for starch RVA profile properties in the superior rice cultivar Koshihikari [J]. **Chinese Journal of Rice Science** 24: 137-144.

## Mapping main and epistatic effects and environmental interactions of QTLs for cooking and eating quality traits of rice in a recombinant inbred lines population

Ali Akbar Ebadi<sup>1\*</sup>, Ezatollah Farshadfar<sup>2</sup> and Babak Rabiei<sup>3</sup>

1. Ph. D. Student, Dept. of Agronomy and Plant Breeding, Faculty of Agriculture, Razi University, Kermanshah, and Staff Member of Rice Research Institute of Iran (RRII), Rasht, 2. Prof., Dept. of Agronomy and Plant Breeding, Faculty of Agriculture, Razi University, Kermanshah, 3. Assoc. Prof., Dept. of Agronomy and Plant Breeding, Faculty of Agricultural Sciences, University of Guilan, Rasht

(Received: December 9, 2012- Accepted: April 22, 2013)

### Abstract

Amylose content (AC), gelatinization temperature (GT) and viscosity profile (from the rapid visco analazer curve) are primary indices for evaluating eating and cooking qualities of rice grain. The main objective of this research was to characterize the genetic parameters including main-effect quantitative trait loci (QTLs), epistatic QTLs and QTL-by-environment interactions (QEs) that are involved in the control of these traits. The experimental data were collected from a recombinant inbred lines (RILs) population derived from a cross between two Iranian varieties, Hashemi and Nemat during three years (2009-2011). A genetic linkage map consisting of 171 microsatellite markers was constructed and QTL analysis performed using QTLNETWORK 1.2 resolved the genetic components into main-effect QTLs, epistatic QTLs and QEs. The analysis detected a total of 18 main-effect QTLs for the ten traits, most of them were on chromosome 6. QEs interaction were significant in seven main-effect QTLs and  $R^2_{ae}$  ranged from 0.09 to 8.14% for each trait. Seventeen digenic interactions involving 34 loci were detected for the ten traits, and two pairs of epistatic QTLs were involved in QEs. Six QTL clusters were detected on chromosome 6 that three of them corresponding to the *Wx* locus and one of them corresponding to the *Alk* locus. Results of current research showed that some of cooking and eating quality traits are controlled by two regions on chromosome 6, *Wx* and *Alk* loci regions. The markers linked to these two genes can be used for marker assisted selection in breeding programmes.

**Keywords:** Amylose content, Epistatic QTL, Main-effect QTL, Microsatellite marker, Rice starch viscosity

\*Corresponding author: ebady\_al@yahoo.com